

碳纳米管/四氧化三铁复合材料的磁性能和电催化性能

侯翠玲, 李铁虎, 赵廷凯, 张薇, 刘乐浩, 张文娟

(西北工业大学 材料学院, 西安 710072)

摘要: 采用水热法制备碳纳米管(MWCNT)/四氧化三铁(Fe_3O_4)复合材料, 运用透射电子显微镜(TEM)、X射线衍射(XRD)、傅立叶红外吸收光谱(FTIR)、振动样品磁强计(VSM)以及循环伏安法等对复合材料的微观结构、磁性能以及电化学行为进行研究和分析。结果表明: 在 MWCNT/ Fe_3O_4 复合材料中, 磁性 Fe_3O_4 纳米颗粒能够对 MWCNTs 表面较好的包覆, 实现了 Fe_3O_4 对 MWCNTs 的表面修饰; Fe_3O_4 含量(质量分数)为 62.5%的复合材料容易被磁化, 常温下其饱和磁化强度(M_s)为 35.89 A·m²/kg, 矫顽力(H_c)为 0.19 A/m, 表现出良好的顺磁性; MWCNTs/ Fe_3O_4 修饰玻碳(GC)电极对 H_2O_2 的电化学响应具有良好的促进作用, 使其氧化还原过电位升高, 氧化峰值电流显著增强。

关键词: 碳纳米管; 四氧化三铁; 磁性能; 电催化性能

中图分类号: O657.1; O614.81 文献标志码: A

Magnetic and electrocatalytic properties of multi-walled carbon nanotube/ Fe_3O_4 composites

HOU Cui-ling, LI Tie-hu, ZHAO Ting-kai, ZHANG Wei, LIU Le-hao, ZHANG Wen-juan

(School of Materials and Engineering Science, Northwestern Polytechnical University, Xi'an 710072, China)

Abstract: Multi-walled carbon nanotube (MWCNT)/ Fe_3O_4 composites were prepared via a chemical synthesis-hydrothermal treatment method. The microstructure, magnetic and electrocatalytic properties of MWCNT/ Fe_3O_4 were investigated using transmission electron microscope (TEM), X-ray diffraction (XRD), fourier transform infrared spectroscopy (FTIR), vibrating sample magnetometer (VSM) and cyclic voltammograms method. The results indicate that the surfaces of MWCNTs are enwrapped with magnetic Fe_3O_4 nanoparticles, and the as-prepared MWCNT/ Fe_3O_4 composites (62.5% Fe_3O_4) with saturation magnetization (M_s) of 35.89 A·m²/kg and coercive force (H_c) of 0.19 A/m have good paramagnetism at room temperature. The glass-carbon (GC) electrode modified with MWCNT/ Fe_3O_4 has good electrocatalytic response towards H_2O_2 , and the redox overpotential increases and the oxidation peak current enhances.

Key words: multi-walled carbon nanotube (MWCNT); Fe_3O_4 nanoparticles; magnetic property; electrocatalytic property

随着科学技术的迅猛发展, 纳米材料以其独特的物化性能, 越来越多地引起人们的广泛关注。纳米四氧化三铁(Fe_3O_4)具有优异的磁性能, 已经应用到许多领域, 诸如: 磁性液体、生物传感器、微波吸收、电化学和催化剂等^[1-5]。碳纳米管(CNTs)具有独特的一维

结构^[6-7], 除了具有小尺寸效应、表面效应、量子尺寸效应和宏观量子隧道效应外, 还具有良好的导电性、化学稳定性和电催化性能^[8-11]。由于 Fe_3O_4 磁性纳米颗粒自身存在不易长期储存、易团聚等缺点, 使其在实际应用中受到很大限制。MWCNTs/ Fe_3O_4 纳米复合

基金项目: 中国高等学校博士学科点专项科研基金资助项目(20096102120016, 20116102110014); 中国航天科技创新基金资助项目(CASC200906);

陕西省自然科学基金资助项目(2009GM6001-1); 西北工业大学基础研究基金资助项目(JC201030)

收稿日期: 2011-03-13; 修订日期: 2011-11-14

通信作者: 赵廷凯, 副教授, 博士, 电话: 029-88460337; E-mail: ztk@nwpu.edu.cn, zhclxw@126.com

材料有效地克服了 Fe_3O_4 纳米颗粒的上述缺点, 而且还保留了 CNTs 和 Fe_3O_4 纳米颗粒各自的优点, 扩大了其在电化学领域的应用范围^[12]。目前, 利用 Fe_3O_4 修饰电极对生物分子的电催化作用进行检测引起人们的极大兴趣。王鹏等^[13]采用电化学电位介跃技术(CA)制备的 Fe_3O_4 纳米粒子具有类似天然过氧化物酶活性, 对 H_2O_2 的还原过程具有很好的电催化性能, 是很好的电化学传感器。WANG 等^[14]经研究发现, 通过控制 Pt 和 Fe_3O_4 大小和形状, 能够最大限度地提高哑铃型结构 Pt- Fe_3O_4 纳米颗粒电化学催化活性。GAO 等^[15]发现纳米 Fe_3O_4 具有辣根过氧化酶的活性, 能够催化 H_2O_2 发生氧化还原反应, 并采用分光光度法检测了酸雨中的 H_2O_2 。

为了改善 Fe_3O_4 纳米颗粒的催化活性、催化效率及稳定性, 本文作者采用水热法, 以多壁碳纳米管(MWCNTs)为载体, 制备出 MWCNT/ Fe_3O_4 复合材料, 并对其微观结构、磁性能和电化学催化性能进行了分析和研究。

1 实验

1.1 实验原料

MWCNTs: 纯度>95%, 平均直径 25 nm(清华大学南风粉体中心生产); $\text{FeCl}_3 \cdot 6\text{H}_2\text{O}$ (分析纯, 天津市福晨化学试剂厂生产), $\text{FeSO}_4 \cdot 7\text{H}_2\text{O}$ (分析纯, 派尼化学试剂厂生产), 十二烷基苯磺酸钠(分析纯, 天津致远化学试剂有限公司生产)。浓硫酸、浓硝酸、氢氧化钠、无水乙醇均为分析纯, 购自国药集团陕西化学试剂有限公司。

1.2 实验方法

MWCNTs 的预处理: 称取 0.2 g 原始 MWCNTs 加入 100 mL 浓硫酸和浓硝酸(体积比 3:1)的混合溶液中, 60 ℃下超声处理 4 h, 过滤, 并用去离子水反复洗涤至中性。最后把所得的黑色沉淀物在 90 ℃下真空干燥至恒重, 研磨待用。

MWCNT/ Fe_3O_4 复合材料的制备^[16]: 称取 1.353 g $\text{FeCl}_3 \cdot 6\text{H}_2\text{O}$ 和 0.695 g $\text{FeSO}_4 \cdot 7\text{H}_2\text{O}$ 配制成 250 mL 溶液, 加入 100 mg 酸处理的 MWCNTs, 室温下超声分散 0.5 h, 得黑色悬浮液。通氮气保护, 并在磁力搅拌下将黑色悬浮液升温至 50 ℃, 反应 0.5 h 后, 再升温至 65 ℃, 滴加 6 mol/L 的 NaOH 溶液, 调节悬浮液至 pH>12, 然后反应 1 h 后, 继续升温至 85 ℃, 加入

0.25 g 十二烷基苯磺酸钠, 在搅拌下冷却至常温。过滤, 得到沉淀物, 用去离子水洗涤至中性。将所得产物真空干燥、研磨, 用磁铁分离出 MWCNT/ Fe_3O_4 软磁性复合材料。

MWCNTs/ Fe_3O_4 修饰玻碳(GC)电极的制备^[17]: 将 GC 电极($d=3\text{ mm}$)用 0.050 μm 粒度氧化铝粉抛光, 然后在丙酮、无水乙醇和去离子水中依次超声清洗 2~3 min, 红外灯下烘干。将 MWCNTs/ Fe_3O_4 的无水乙醇悬浮液超声 20 min, 分散均匀后, 用微量注射器吸取 2.0 μL 悬浮液滴涂在处理好的 GC 电极表面, 红外灯下烘干、冷却, 制得 MWCNTs/ Fe_3O_4 /GC 修饰电极。裸 GC 电极为实验比较电极。

1.3 测定与表征

采用透射电子显微镜(TEM, JEM-100CXII, 日本电子公司)对 MWCNTs/ Fe_3O_4 复合材料微观形貌、结构特征进行分析; 利用晶体形成的 X 射线衍射(XRD, X'Pert Pro, 荷兰 PANalytical 公司, 铜靶, $\lambda=1.5418\text{ \AA}$), 测定样品的物相组成; 运用傅里叶变换红外光谱仪(Tensor 27, 德国 Bruker 公司)测试样品的 FTIR 光谱图, KBr 压片法制样; 采用振动样品磁强计(VSM, LakeShore-7307, 美国 LakeShore 公司)测量样品的静态磁滞回线, 获得典型磁参数(饱和磁化强度 M_s , 矫顽力 H_c 等); 运用 CHI650C 型电化学工作站(中国上海辰华仪器有限公司)分析样品的电化学性能; 电化学测量采用三电极系统(参比电极为饱和甘汞电极, 辅助电极为铂丝电极, 工作电极为玻碳电极)进行测试分析。MWCNTs/ Fe_3O_4 复合材料中 Fe_3O_4 含量的测定方法: 取质量为 m_1 的样品, 用过量的浓盐酸浸泡 3 h 后过滤, 用去离子水反复洗涤至中性后干燥, 称得 MWCNTs 的质量为 m_2 , 则样品中 Fe_3O_4 的含量为 $c=[(m_1-m_2)/m_1] \times 100\%$ 。

2 结果与讨论

2.1 TEM 分析

图 1 所示为酸处理的 MWCNTs 和 MWCNT/ Fe_3O_4 复合材料的 TEM 像。从图 1(a)可以看出, 经混酸处理的 MWCNTs 已经很难发现催化剂、无定型碳等杂质粒子, MWCNTs 间几乎没有团聚, 管壁薄且有明显的凹凸起伏, 比表面积大, 端帽打开, 内腔通畅。从图 1(b)可以看出, 在中空的 MWCNTs 外表面吸附有很多 Fe_3O_4 黑色颗粒, 颗粒呈球状且粒径较小。吸附 Fe_3O_4 纳米颗粒的 MWCNTs 相互缠绕, 形成网状结构, 改

善了颗粒之间及颗粒内部的物理接触，增大了电极比表面积，从而可以提高电化学反应的反应效率。

2.2 XRD 分析

图 2 所示为 MWCNT/Fe₃O₄ 复合材料的 XRD 谱。

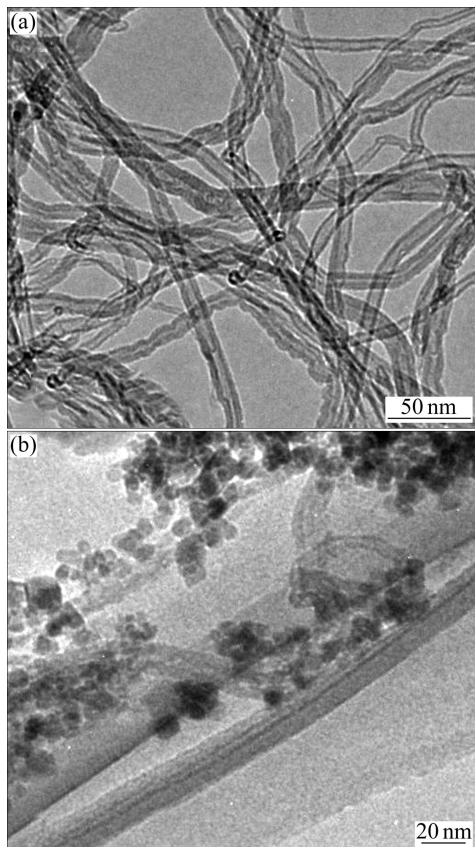


图 1 酸处理的 MWCNTs 和 MWCNT/Fe₃O₄ 复合材料的 TEM 像

Fig. 1 TEM images of acid-treated MWCNTs (a) and MWCNT/Fe₃O₄ composites (b)

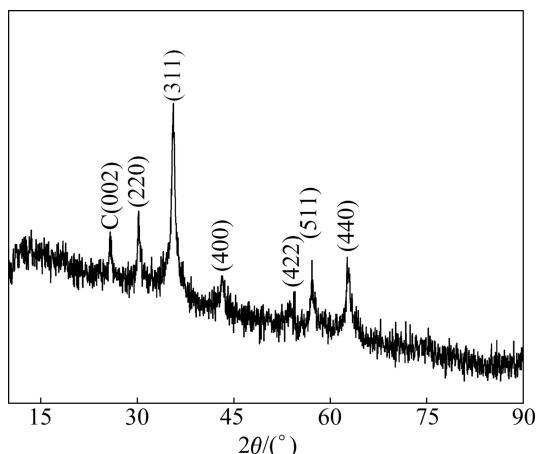


图 2 MWCNTs/Fe₃O₄ 复合材料的 XRD 谱

Fig. 2 XRD pattern of MWCNT/Fe₃O₄ composites

从图 2 可以看出，在 2θ 为 30.3° 、 35.6° 、 43.2° 、 53.8° 、 57.2° 和 62.8° 的位置出现衍射峰 (2θ 为 35.6° 处的峰最强)，分别对应 Fe₃O₄ 的 (220)、(311)、(400)、(422)、(511) 和 (440) 6 个晶面。在 2θ 为 26.4° 也出现衍射峰，它是石墨碳的特征衍射峰 (002)，这表明包覆 Fe₃O₄ 纳米颗粒的 MWCNTs 中的碳仍是石墨结构。这与前面 TEM 分析结果相吻合。从图 2 还可以看出，除 Fe₃O₄ 和石墨之外没有发现任何其他物相，这说明 MWCNTs 表面所包覆 Fe₃O₄ 纳米颗粒的纯度较高。

2.3 FTIR 分析

图 3 所示为酸处理后的 MWCNTs 和 MWCNT/Fe₃O₄ 复合材料的 FTIR 谱。比较 MWCNTs 和 MWCNT/Fe₃O₄ 的两条谱线，可以发现 MWCNT/Fe₃O₄ 谱线中 567 cm^{-1} 处有一处较强的 Fe—O 伸缩弯曲振动峰，表明复合材料中存在 Fe₃O₄ 纳米颗粒，这与 XRD 分析结果相符合。从图 3 还可以看出，在 3446 和 3417 cm^{-1} 处是由吸附的结晶水中的—OH 振动和 MWCNTs 经混酸预处理引入的—OH 振动共同引起的强宽吸收峰，在 1632 和 1630 cm^{-1} 处是由—COO—基团中的 C=O 伸缩振动引起的吸收峰，在 1595 和 1587 cm^{-1} 处是由石墨结构中的 C=C 伸缩振动引起的较强吸收峰，在 1385 cm^{-1} 处是由—CH₃ 弯曲振动引起的吸收峰，在 1355 和 1010 cm^{-1} 处是由—CH₃、C—O—CH₃ 和 C—O 伸缩振动引起的吸收峰。这说明经混酸处理后在 MWCNTs 的表面引入了含氧官能团，并且这些官能团将以化学键或者配位键的形式与溶液

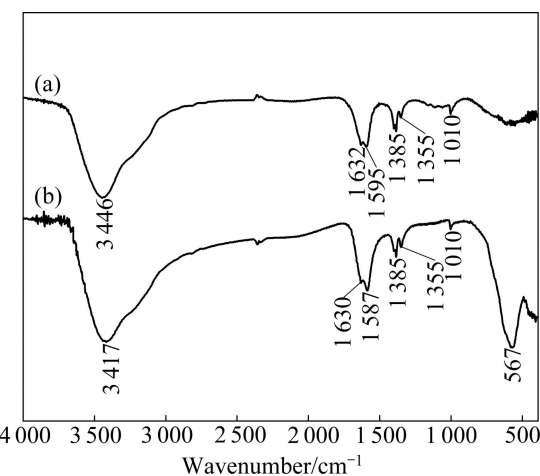


图 3 酸处理 MWCNTs 和 MWCNT/Fe₃O₄ 复合材料的 FTIR 谱

Fig. 3 FTIR spectra of acid-treated MWCNTs (a) and MWCNT/Fe₃O₄ composites (b)

中的活性组分相互作用^[18], 为纳米颗粒的形核、生长提供了有利的条件。

2.4 磁性能分析

图 4 所示为 Fe_3O_4 纳米颗粒和 MWCNTs/ Fe_3O_4 复合材料的磁滞回线图。磁滞回线是反映材料磁性能的重要特征曲线之一。由图 4 可以看出, 常温下用 VSM 测得 MWCNTs/ Fe_3O_4 复合材料(经测定 Fe_3O_4 含量为 62.5%)的饱和磁化强度(M_s)为 35.89 $\text{A}\cdot\text{m}^2/\text{kg}$, 剩磁(M_r)和矫顽力(H_c)分别为 0.18 $\text{A}\cdot\text{m}^2/\text{kg}$ 和 0.19 A/m , 均接近于零, 磁滞回线狭窄, 磁滞损耗小, 表明 MWCNTs/ Fe_3O_4 复合材料呈顺磁性^[19]。通过比较 Fe_3O_4 纳米颗粒和 MWCNTs/ Fe_3O_4 复合材料的两条磁滞回线, 发现 MWCNTs/ Fe_3O_4 复合材料的磁滞回线曲率小, 即 MWCNTs/ Fe_3O_4 复合材料的磁化率 χ (或磁导率 μ)小, 说明 MWCNTs/ Fe_3O_4 复合材料不如 Fe_3O_4 纳米颗粒容易被磁化。另外, MWCNTs/ Fe_3O_4 复合材料的饱和磁化强度较低(见表 1), 这是因为 MWCNTs 本身几乎没有磁性, MWCNTs/ Fe_3O_4 复合材料之所以呈现良好的磁性能, 主要归功于 MWCNTs 表面包覆 Fe_3O_4 纳米颗粒的磁性能。

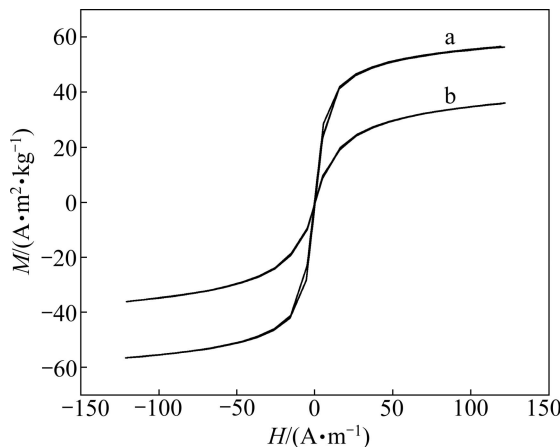


图 4 Fe_3O_4 纳米颗粒和 MWCNTs/ Fe_3O_4 复合材料的磁滞回线

Fig. 4 Magnetic hysteresis curves of Fe_3O_4 nanoparticles (a) and MWCNTs/ Fe_3O_4 composites (b)

表 1 Fe_3O_4 纳米颗粒和 MWCNTs/ Fe_3O_4 复合材料的磁性参数
Table 1 Magnetization parameters for Fe_3O_4 and MWCNTs/ Fe_3O_4 composites

Sample	$M_s/(\text{A}\cdot\text{m}^2\cdot\text{kg}^{-1})$	$M_r/(\text{A}\cdot\text{m}^2\cdot\text{kg}^{-1})$	$H_c/(\text{A}\cdot\text{m}^{-1})$
Fe_3O_4	57.95	1.44	0.27
MWCNTs/ Fe_3O_4	35.89	0.18	0.19

2.5 电催化性能分析

图 5 所示为裸 GC 电极和 MWCNTs/ Fe_3O_4 修饰 GC 电极在 40 mmol/L H_2O_2 磷酸缓冲液中($\text{pH}=6.8$)的循环伏安曲线(40 mV/s)。从图 5 可以看出, 在裸 GC 电极上几乎看不到氧化还原峰, 析氢峰(0.31 V)的峰电流也比较小, 峰形相对较差。而 MWCNTs/ Fe_3O_4 修饰 GC 电极在 0.53 V 附近存在宽的氧化峰, 这可能是由于磁性 MWCNTs/ Fe_3O_4 纳米复合材料具有巨大的比表面积, 大幅度地增加了 H_2O_2 与电极之间的接触面积, 提高了电极传递电子的效率, 增大了电极反应的交换电流密度。并且氧化峰比较宽泛, 这可能是由于 MWCNTs 在电极表面形成双电层电容^[20-21]与氧化峰叠加所致。还原峰不明显, 说明在 MWCNTs/ Fe_3O_4 修饰 GC 电极上的氧化还原反应可逆性较差, 同时也表明 MWCNTs/ Fe_3O_4 修饰 GC 电极对 H_2O_2 中的氧化反应具有明显的电化学催化作用。另外, MWCNTs/ Fe_3O_4 修饰 GC 电极的析氢峰(-0.24 V)电流明显增加, 且峰形尖锐。电位窗口向较正的区域移动。因此, MWCNTs/ Fe_3O_4 修饰 GC 电极对 H_2O_2 具有良好的电化学响应和催化活性。

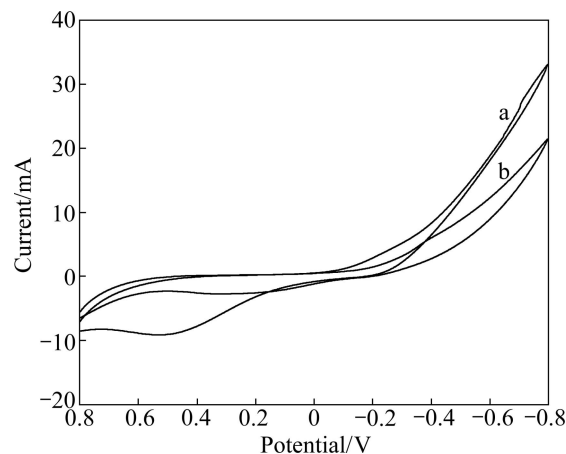


图 5 裸 GC 电极和 MWCNTs/ Fe_3O_4 修饰 GC 电极在 40 mmol/L H_2O_2 磷酸缓冲液中($\text{pH}=6.8$)的循环伏安曲线(40 mV/s)

Fig. 5 CV curves of bare GCE (a) and MWCNTs/ Fe_3O_4 /GCE (b) in phosphate buffer ($\text{pH}=6.8$) with 40 mmol/L H_2O_2 at scanning rate of 40 mV/s

图 6 所示为 MWCNTs/ Fe_3O_4 修饰 GC 电极在 40 mmol/L H_2O_2 磷酸缓冲液($\text{pH}=6.8$)中不同扫描速率下的循环伏安曲线。由图 6 可以看出, 随着扫描速率的增大, 氧化峰电流(I_{pa})明显增大, 氧化峰电位(E_{pa})正移, 电位窗口变得更加平宽, 氢氧过电位增大, H_2O_2 的氧化还原电流随着扫描速率的增加而增大, 再次说明

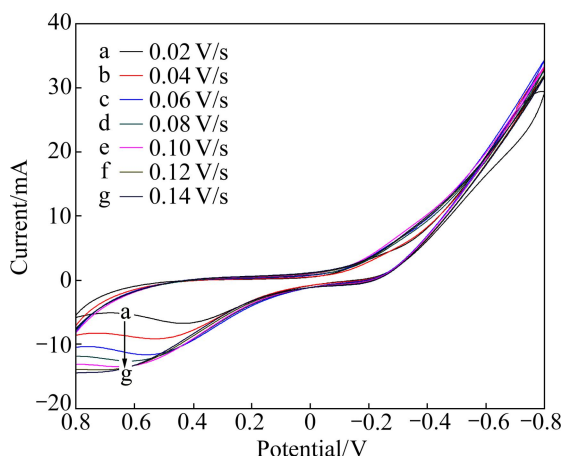


图 6 MWCNT/Fe₃O₄修饰 GC 电极在 40 mmol/L H₂O₂ 磷酸缓冲液(pH=6.8)中不同扫描速率下的循环伏安曲线

Fig. 6 CV curves of MWCNTs/Fe₃O₄/GCE in phosphate buffer with 40 mmol/L H₂O₂ at various scan rates

MWCNT/Fe₃O₄ 修饰 GC 电极对 H₂O₂ 具有良好的电化学催化性能。

3 结论

1) 以混酸氧化处理得到的羟基化 MWCNTs 作为原材料,采用水热法制备出 MWCNT/Fe₃O₄ 复合材料,实现了 Fe₃O₄ 对 MWCNTs 表面的有效包覆,改善了颗粒之间及颗粒内部的物理接触,增大了比表面积,为电化学反应提供了良好的环境。

2) MWCNT/Fe₃O₄(Fe₃O₄ 含量为 62.5%)复合材料的饱和磁化强度(M_s , 35.89 A·m²/kg)较 Fe₃O₄ 纳米颗粒(57.95 A·m²/kg)低,剩磁(M_r)和矫顽力(H_c)接近于零,磁滞回线狭窄,磁滞损耗小,呈现出良好的顺磁性。

3) 利用循环伏安法对 H₂O₂ 在 MWCNT/Fe₃O₄ 修饰 GC 电极上的电化学行为研究后发现, MWCNTs/Fe₃O₄ 修饰 GC 电极使 H₂O₂ 的氧化还原过电位增大,氧化峰值电流显著增强;随着扫描速率的增加, H₂O₂ 的氧化峰值电流逐渐增高。MWCNTs/Fe₃O₄ 修饰 GC 电极对 H₂O₂ 具有良好的电催化作用。

REFERENCES

- [1] LAI Qiong-yu, LU Ji-zheng, JI Xiao-yang. Study of preparation and properties on magnetization and stability for ferromagnetic fluids [J]. Materials Chemistry and Physics, 2000, 66(1): 6–9.
- [2] ROSSI L M, QUACH A D, ROSENZWEIG Z. Glucose oxidase-magnetite nanoparticle bioconjugate for glucose sensing [J]. Analytical and Bioanalytical Chemistry, 2004, 380(4): 606–613.
- [3] ZHAN Ying-qing, ZHAO Rui, MENG Fan-bing, LEI Ya-jie, ZHONG Jia-chun, YANG Xu-ling, LIU Xiao-bo. Oriented growth of magnetite along the carbon nanotubes via covalently bonded method in a simple solvothermal system [J]. Materials Science and Engineering B, 2011, 176(10): 779–784.
- [4] HE Yang, HUANG Ling, CAI Jin-shu, ZHENG Xiao-mei, SUN Shi-gang. Structure and electrochemical performance of nanostructured Fe₃O₄/carbon nanotube composites as anodes for lithium ion batteries [J]. Electrochimica Acta, 2010, 55(3): 1140–1144.
- [5] ZENG Tie-qiang, CHEN Wen-wen, CIRTIU C M, MOORES A, SONG Gong-hua, LI Chao-jun. Fe₃O₄ nanoparticles: A robust and magnetically recoverable catalyst for three-component coupling of aldehyde, alkyne and amine [J]. Green Chemistry, 2010, 12(4): 570–573.
- [6] IIJIMA S. Helical microtubules of graphitic carbon [J]. Nature, 1991, 354: 56–58.
- [7] WU Sen, FU Xing, HU Xiao-dong, HU Xiao-tang. Manipulation and behavior modeling of one-dimensional nanomaterials on a structured surface [J]. Applied Surface Science, 2010, 256(14): 4738–4744.
- [8] AHMAD I, YAN Long, ZHU De-zhang. The electrical conductivity of carbon nanotube sheets by ion beam irradiation [J]. Nuclear Instruments and Methods in Physics Research Section B: Beam Interactions with Materials and Atoms, 2009, 267(10): 1779–1782.
- [9] KOROBENYK A V, WHITBY R L D, NIU J J, GOGOTSI Y, MIKHAILOVSKY S V. Rapid assembly of carbon nanotube-based magnetic composites [J]. Materials Chemistry and Physics, 2011, 128(3): 514–518.
- [10] CHNG E L K, PUMERA M. Nanographitic impurities are responsible for electrocatalytic activity of carbon nanotubes towards oxidation of carbamazepine [J]. Electrochemistry Communications, 2011, 13(8): 781–784.
- [11] ZARE H R, NASIRIZADEH N, AJAMAIN H, SAHRAGARD A. Preparation, electrochemical behavior and electrocatalytic activity of chlorogenic acid multi-wall carbon nanotubes as a hydroxylamine sensor [J]. Materials Science and Engineering: C, 2011, 31(5): 975–982.
- [12] QU S, WANG J, KONG J, YANG P, CHEN G. Magnetic loading of carbon nanotube/nano-Fe₃O₄ composite for electrochemical sensing [J]. Talanta, 2007, 71(3): 1096–1102.
- [13] 王鹏, 陈声培, 王洁莹, 黄蕊, 李明轩, 孙世刚. Fe₃O₄纳米催化剂的制备、表征及其对 H₂O₂ 还原过程[J]. 化工学报, 2010, 61(S1): 16–19.
WANG Peng, CHEN Sheng-pei, WANG Jie-ying, HUANG Rui, LI Ming-xuan, SUN Shi-gang. Synthesis, characterization of

- nanostructured Fe₃O₄ electrocatalysts for reduction of H₂O₂ [J]. CIESC Journal, 2010, 61(S1): 16–19.
- [14] WANG C, DAIMON H, SUN S. Dumbbell-like Pt-Fe₃O₄ nanoparticles and their enhanced catalysis for oxygen reduction reaction [J]. Nano Letters, 2009, 9(4): 1493–1496.
- [15] GAO Li-zeng, ZHUANG Jie, NIE Leng, ZHANG Jin-bin, ZHANG Yu, GU Ning, WANG Tai-hong, FENG Jing, YANG Dong-ling, PERRETT Sarah, YAN Xi-yun. Intrinsic peroxidase-like activity of ferromagnetic nanoparticles [J]. Nature Nanotechnology, 2007, 2(4): 577–583.
- [16] 蒋峰景, 浦鸿汀, 杨正龙, 殷俊林. Fe₃O₄ 包覆碳纳米管软磁性纳米复合微粒的制备及性能[J]. 新型炭材料, 2007, 22(4): 371–374.
JIANG Feng-jing, PU Hong-ting, YANG Zheng-long, YIN Jun-lin. Preparation and properties of soft magnetic composites based on Fe₃O₄ coated carbon nanotubes [J]. New Carbon Materials, 2007, 22(4): 371–374.
- [17] 赵廷凯, 李光明, 刘乐浩, 李铁虎. 多壁碳纳米管/壳聚糖复合材料的制备及电催化性能[J]. 中国有色金属学报, 2010, 20(9): 1732–1736.
ZHAO Ting-kai, LI Guang-ming, LIU Le-hao, LI Tie-hu. Preparation and electrocatalytic properties of multi-walled carbon nanotubes/chitosan composites [J]. The Chinese Journal of Nonferrous Metals, 2010, 20(9): 1732–1736.
- [18] YUEN S M, MA C C M, CHIANG C L. Silane grafted MWCNT/polyimide composites-preparation, morphological and electrical properties [J]. Composites Science and Technology, 2008, 68(14): 2842–2848.
- [19] NUNES J S, VASCONCELOS C L De, CABRAL F A O, ARAÚJO J H De, PEREIRA M R, FONSECA J L C. Synthesis and characterization of poly (ethyl methacrylate-co-methacrylic acid) magnetic particles via miniemulsion polymerization [J]. Polymer, 2006, 47(22): 7646–7652.
- [20] 王晓峰. 碳纳米管超级电容器的研制和应用[J]. 电源技术, 2005, 29(1): 27–30.
WANG Xiao-feng. The performance of carbon nanotubes based supercapacitor and application in GSM portable communication [J]. Chinese Journal of Power Sources, 2005, 29(1): 27–30.
- [21] 米红宇, 张校刚, 吕新美, 王兴磊. 碳纳米管的功能化及其电化学性能[J]. 无机化学学报, 2007, 23(1): 159–163.
MI Hong-yu, ZHANG Xiao-gang, LU Xin-me, WANG Xing-lei. Functionalization and electrochemical performance of carbon nanotubes [J]. Chinese Journal of Inorganic Chemistry, 2007, 23(1): 159–163.

(编辑 何学锋)